

تشخیص لیزین اساسی در فعالیت کاتالیتیکی آنزیم فسفاتیدات فسفو هیدرولاز غشایی کبد موش صحرایی

دکتر اسفندیار حیدریان<sup>۱</sup>، دکتر بهرام حقیقی<sup>۲</sup>

تاریخ دریافت : ۸۳/۱۰/۹ تاریخ پذیرش: ۸۴/۵/۲۵

**چکیده**

**مقدمه:** آنزیم فسفاتیدات فسفو هیدرولاز (PAP) دارای دو فرم  $PAP_1$  و  $PAP_2$  می‌باشد که  $PAP_1$  در سنتز تری آسیل گلیسرول و سایر فسفولیپیدهای مرکب ایفای نقش می‌کند در حالیکه  $PAP_2$  در پدیده انتقال پیام نقش داشته و دارای دو ایزوفرم  $PAP_{2a}$  و  $PAP_{2b}$  می‌باشد. اطلاعات اندکی پیرامون ساختمان و تنظیم فعالیت  $PAP_2$  وجود دارد. در این مطالعه به بررسی نقش اسید آمینه لیزین در فعالیت کاتالیتیکی آنزیم  $PAP_{2b}$  پرداخته شده است.

**مواد و روشها:** در این مطالعه تجربی که در سال ۸۲ انجام گرفت به کمک چندین مرحله کروماتوگرافی از کبد موش صحرایی  $PAP_{2b}$  تخلیص و جهت تعیین تعداد و وزن زیر واحد آنزیم الکتروفورز گردید. غیر فعال سازی آنزیم و مطالعات اسپکتروفتومتری  $PAP_{2b}$  با استفاده از پیریدوکسال<sup>۵</sup> فسفات انجام گرفت و نتایج به کمک رگرسیون خطی و نمودار Lineweaver-Burk مورد تحلیل قرار گرفت.

**یافته‌های یژوهش:** آنزیم  $PAP_{2b}$  توسط پیریدوکسال<sup>۵</sup> فسفات غیرفعال و مهار گردید. مطالعات اسپکتروفتومتری شواهدی بر ضرورت وجود لیزین اساسی برای فعالیت آنزیم بود. میزان مهار آنزیم بوسیله پیریدوکسال<sup>۵</sup> فسفات وابسته به غلظت و زمان بود. مهار آنزیم توسط پیریدوکسال<sup>۵</sup> فسفات نسبت به سوبسترای اسید فسفاتیدیک از نوع رقابتی بود.

**نتیجه‌گیری نهایی:** نتایج حاکی از احتمال حضور لیزین اساسی در مکان فعال آنزیم بود و تعداد مول لیزین اساسی تعديل شده به ازاء هر مول آنزیم<sup>۶</sup> عدد بود.

**واژه‌های کلیدی:** فسفاتیدات فسفو هیدرولاز غشایی، لیزین، پیریدوکسال<sup>۵</sup> فسفات، اسید فسفاتیدیک

## مقدمه

با وجود اهمیت<sub>2</sub> PAP در پدیده انتقال پیام اطلاعات محدودی پیرامون ساختمان، ساز و کار و اسید یا اسیدهای آمنه موجود در جایگاه فعال این آنزیم وجود دارد. با توجه به اینکه سوبسترای PAP<sub>2</sub> یک ترکیب فسفریله می باشد و از طرف دیگر بسیاری از آنزیمهای هیدرولیزکننده مثل فروکتوز<sup>۱</sup>،<sup>۶</sup> بیس فسفاتاز و الولاز ماهیچه‌ای که دارای سوبسترای فسفریله هستند در جایگاه فعال خود دارای لیزین اساسی هستند<sup>(۸،۹)</sup>. بنابراین در این مقاله نقش لیزین اساسی در عمل کاتالیتیکی PAP<sub>2b</sub> غشایی تخلیص شده از کبد موش صحرایی مورد بررسی قرار گرفت.

## مواد و روش‌ها

نوع مطالعه تجربی بود که در سال ۱۳۸۲ در گروه بیوشمی دانشکده داروسازی دانشگاه علوم پزشکی اصفهان انجام گرفت. نتایج حاصل به کمک Lineweaver-Burk ریگرسیون خطی و نمودار تحلیل گردید.

مواد مورد استفاده عبارت بودند از: اسید فسفاتیدیک (ملح دی سدیم)، دی تیوتراپیتول (DTT)، N-اتیل مالیمید (NEM)، لوپیتین، مهار کننده Soyabean tripsin، بنزآمیدین، پیریدکسال<sup>۵</sup> فسفات (PLP) هیدروکسیل آپاتیت، پیستاتین، هپارین سفارز، n-اکتیل گلوكوزید، سفакریل، Affi Gel Blue، S<sub>2..</sub> X-100 و تربتون (Merk, Germany).

**الف) تخلیص آنزیم:** PAP<sub>2b</sub> از غشاء سلولهای کبدی موش صحرایی براساس روش Fleming و

5. Ethylen Diamine Tetra Acetic acid  
6. Ethylene Gis(oxyethylene nitrilo)Tetraacetic Acid

آنزیم فسفاتیدات فسفوهیدرولاز<sup>۱</sup> (PAP, EC 3.1.3.4) تبدیل اسید فسفاتیدیک به فسفات معدنی (Pi) و دی‌آسیل گلیسرول را کاتالیز می‌کند<sup>(۱)</sup>. دی‌آسیل گلیسرول حاصل یک پیش‌ساز برای سنتز تری‌آسیل گلیسرول، فسفولیپیدها، فسفاتیدیل کولین و فسفاتیدیل اتانول آمین است<sup>(۲،۱)</sup>. جمال<sup>۱</sup> و همکاران فعالیت دو PAP مجزا را در کبد موش صحرایی توصیف کردند؛ بطوريکه نوع اول PAP<sub>1</sub> سیتوزولی و برای فعالیت نیازمند به g<sup>2+</sup> M بود و کاملاً بوسیله N-اتیل مالیمید<sup>۳</sup> (NEM) مهار می‌گردید و نقش اساسی را در سنتز گلیسرولیپیدها و فسفولیپیدها بهره داشت<sup>(۳)</sup>. نوع دوم (PAP<sub>2</sub>) غشایی و برای فعالیت نیازمند به Mg<sup>2+</sup> نبود و توسط N-اتیل مالیمید نیز مهار نمی‌گردید و در پدیده انتقال پیام<sup>۴</sup>، تمایز و مهاجرت سلولی نقش داشت<sup>(۵،۳)</sup>. متعاقباً اثبات شد PAP<sub>2</sub> دارای دو ایزوفرم PAP<sub>2a</sub> و PAP<sub>2b</sub> می‌باشد که از لحظه مقدار تقریباً ۳۰٪ و مابقی را PAP<sub>2b</sub> در غشاء تشکیل می‌دهد<sup>(۶،۷)</sup>. PAP<sub>2a</sub> تاکنون به صورت یک پروتئین همگن خالص سازی نشده است و بر روی PAP<sub>2b</sub> نیز تحقيقيات محدودی صورت گرفته است که حاکی از اثرات مهاری یونهای Zn<sup>2+</sup>, Mn<sup>2+</sup>, Ca<sup>2+</sup>، آمین‌های آمفی فیلیک مثل پروپرانولول، کلروپرومازین، اسفنگوژین و دی پرامین بوده است<sup>(۷)</sup>. ایزوفرم‌های PAP<sub>2b</sub> و PAP<sub>2a</sub> جهت فعالیت نیازی به فسفولیپیدها ندارند و فعالیت آنزیمی PAP<sub>2b</sub> توسط دی‌آسیل گلیسرول مهار می‌شود ولی تری‌آسیل گلیسرول بر فعالیت آن تأثیری ندارد<sup>(۷)</sup>.

- 
1. Phosphatidate phosphohydrolase
  - 2.Jamal
  3. N- ethylmaleimide
  4. Signal transduction

د) **مطالعات کینتیکی:** ثابت‌های کینتیکی براساس مدل Surface dilution (کینتیک رقت سطحی) تعیین گردیدند (۱۳) و درصد مولی فسفاتیدات در میسل‌های مخلوط تریتون ۱۰۰-X فسفاتیدات با استفاده از فرمول زیر محاسبه شد (۱۳):

$$\text{Mol\%} = \frac{\text{[فسفاتیدات]}}{\text{[تریتون ۱۰۰-X] + [فسفاتیدات]}} \times 100$$

ه) **سایر روشها:** اندازه‌گیری پروتئین به روش برادفورد (Bradford) و با استفاده از آلبومین گاوی عنوان استاندارد انجام گرفت (۱۴). مطالعات اسپکتروفوتومتری در بافر A (۷) که شامل ۲۵ میلی مولار تریس هیدروکلرید با  $\text{pH}=7/4$ ،  $10\%$  گلیسرول، ( $w/v$ )  $1\%$  تریتون ۱۰۰-X،  $50$  میلی مولار کلریدسیم،  $1$  میلی مولار بنزآمیدین،  $1$  میلی مولار از هریک از DTT، EDTA، EGTA و مقدار soybean tripsin و با استفاده از اسپکتروفوتومترهای Cecil Shimadzu CE 1021 و Shimadzu multispec 1501 (ژاپن) انجام گرفت. SDS پلی آکریل آمیدژل الکتروفوروز جهت تعیین درجه خلوص، تعداد و وزن زیر واحدهای آنزیمی در ژل  $10\%$  به صورت ناپیوسته (Discontinuous) انجام گرفت (۱۵). قبل از الکتروفوروز جهت حذف تریتون ۱۰۰-X، نمونه مورد استفاده به مدت  $10$  دقیقه در مخلوط استون/هیدروکسید آمونیوم ( $V/V$ ,  $1/7$ :  $30$ ) به نسبت حجمی  $1$  به  $5$  انکوبه (۱۶) و سپس رسوب در دور  $25000g$  جدا و پس از خشک شدن در بافر سمپلر حل گردید. ژل به روش رنگ‌آمیزی با نیترات نقره رنگ شد (۱۷).

همکارانش تخلیص گردید و فقط مرحله هیدروکسل آپاتیت به روش wise Bath انجام گرفت (۷). تعداد موشهای صحرایی  $14$  عدد و در محدوده  $200$  تا  $250$  گرمی بودند.

ب) **سنجد فعالیت آنزیم:** فعالیت آنزیم PAP<sub>2b</sub> در بافر سنجد ( $1\text{ }\mu\text{m}$ ) که حاوی  $50$  میلی مولار تریس هیدروکلرید با  $\text{pH}=7/4$ ،  $1$  میلی گرم بر میلی لیتر آلبومین گاوی،  $3/2$  میلی مولار تریتون ۱۰۰-X،  $4$  میلی مولار NEM،  $35$  میلی مولار اسید فسفاتیدیک،  $1$  میلی مولار از هریک از DTT، EDTA، EGTA و مقدار مناسب آنزیم اندازه‌گیری شد (۱۰). مخلوط سنجد فعالیت برای  $10$  دقیقه در  $37^{\circ}\text{C}$  انکوبه و سپس بوسیله افزودن  $5/0$  میلی لیتر تری کلرواستیک اسید  $10\%$  واکنش آنزیمی متوقف گردید و فسفات معدنی حاصل از فعالیت آنزیم اندازه‌گیری شد (۱۱). هر واحد آنزیمی (U) معادل مقدار آنزیمی که بتواند یک میکرومول فسفات معدنی را در دقیقه آزاد کند، در نظر گرفته شد.

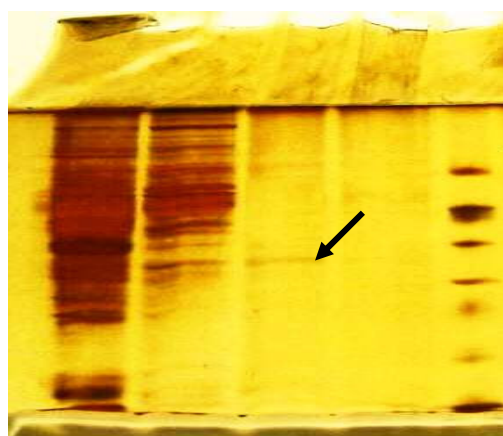
ج) **غیرفعال سازی آنزیم بوسیله PLP:** شش سری لوله آزمایش تمیز تهیه گردید. یک سری به عنوان شاهد که فاقد PLP و پنج سری دیگر به عنوان تست که محتوی غلظت‌های  $0/1$ ،  $0/2$ ،  $0/4$  و  $0/8$  میلی مولار از PLP در محیط سنجد فعالیت آنزیم بودند. لوله‌ها در دمای آزمایشگاه و تاریکی انکوبه، سپس طی زمانهای  $5$ ،  $10$ ،  $15$ ،  $20$ ،  $25$  و  $30$  دقیقه به هر یک از لوله‌ها سوبسترا اضافه و فعالیت آنزیمی اندازه‌گیری گردید. تعداد مول لیزین متصل شده به مول آنزیم با استفاده از ضریب جذب مولی  $8600\text{ M}^{-1}\text{cm}^{-1}$  در  $316$  نانومتر برای بازشیف احیاء شده (۱۲) و وزن مولکولی  $175$  کیلو Dalton برای آنزیم PAP<sub>2b</sub> (۷) محاسبه شد.

### یافته های پژوهش

یک افزایش جذب را در ۳۲۵ نانومتر برای آنزیم تعديل شده نشان داد که مربوط به بازشیف احیا شده با  $\text{NaBH}_4$  بود و همانطوریکه مشاهده می شود، آنزیم شاهد فقد چنین افزایش جذبی، در طول موج ۳۲۵ نانومتر می باشد(شکل شماره ۴). شکل شماره ۵ منحنی Lineweaver-Burk مربوط به اثر PLP بر فعالیت آنزیم  $PAP_{2b}$  را نشان می دهد که نوع مهار ایجاد شده توسط PLP رقابتی (Competitive) می باشد. شکل شماره ۶ استوکیومتری (Stoichiometry) غیرفعال سازی (Inactivation)  $PAP_{2b}$  با PLP متعاقب احیاء بازشیف با  $\text{NaBH}_4$  مشاهده می شود که با استفاده از ضریب جذب مولی  $8600 \text{ M}^{-1} \text{ cm}^{-1}$  برای بازشیف احیاء شده با  $\text{NaBH}_4$  در ۳۱۶ نانومتر و وزن مولکولی ۱۷۵ کیلودالتون برای آنزیم  $PAP_{2b}$  مشخص شد که در اثر غیرفعال شدن آنزیم و اصلاح دنباله خطی منحنی ۶ مول باقیمانده لیزین در مول آنزیم تعديل شده است.

آنژیم  $PAP_{2b}$  خالص شده از غشاء سلولهای کبد موش صحرایی، فعالیت ویژه ای معادل  $7350 \text{ mU/mg protein}$  داشت.  $k_m$  آنزیم در مدل کینتیک رقت سطحی  $43/0$  مول درصد بود. آنزیم تخلیص شده در روش SDS ژل الکتروفورز یک نوار با وزن مولکولی  $33/8$  کیلودالتون را نشان داد (شکل شماره ۱). غیرفعال سازی آنزیم با غلظت های مختلف PLP نشان داد، سرعت غیرفعال شدن آنزیم بستگی به غلظت و زمان دارد، به طوریکه در غلظت  $0/0$  میلی مولار در مدت ۲۵ دقیقه غیرفعال می شود(شکل شماره ۲). اسپکتروم تفاضل بین آنزیم تعديل شده با PLP در حالت غیراحیاء شده و آنزیم شاهد یک ماکریم نسبت  $420/260$  نانومتر که مربوط به تشکیل بازشیف احیاء نشده است را نشان داد(شکل شماره ۳).

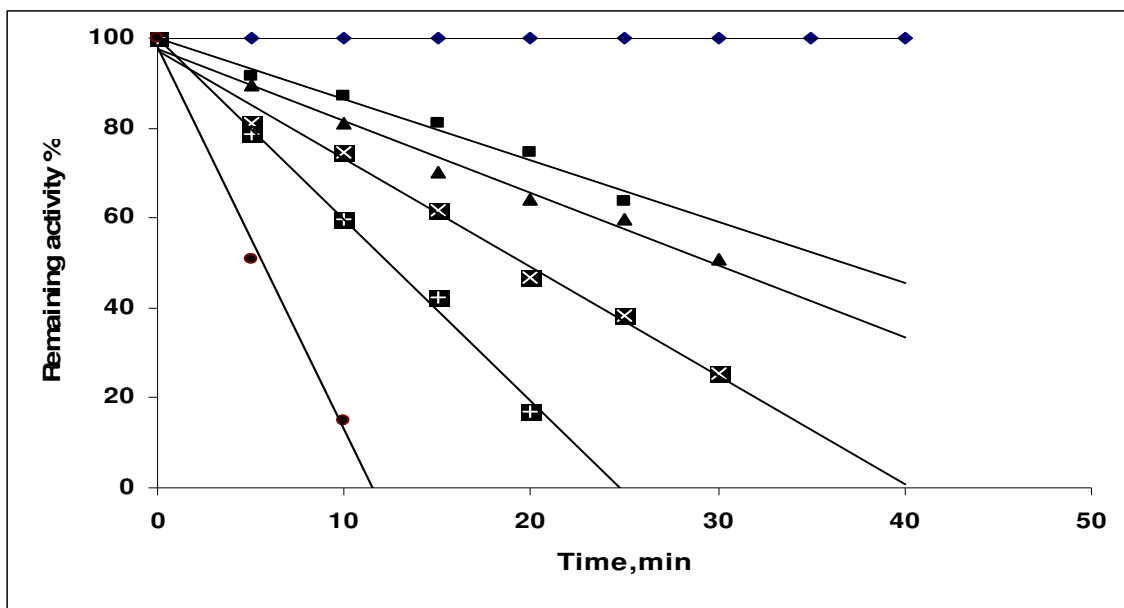
اسپکتروم کمپلکس آنزیم-PLP و شاهد احیاء شده با  $\text{NaBH}_4$  در طول موج ۲۸۰ تا ۳۶۰ نانومتر.



شکل شماره ۱ : الکتروفورز آنزیم  $PAP_{2b}$  خالص شده از کبدموش صحرایی

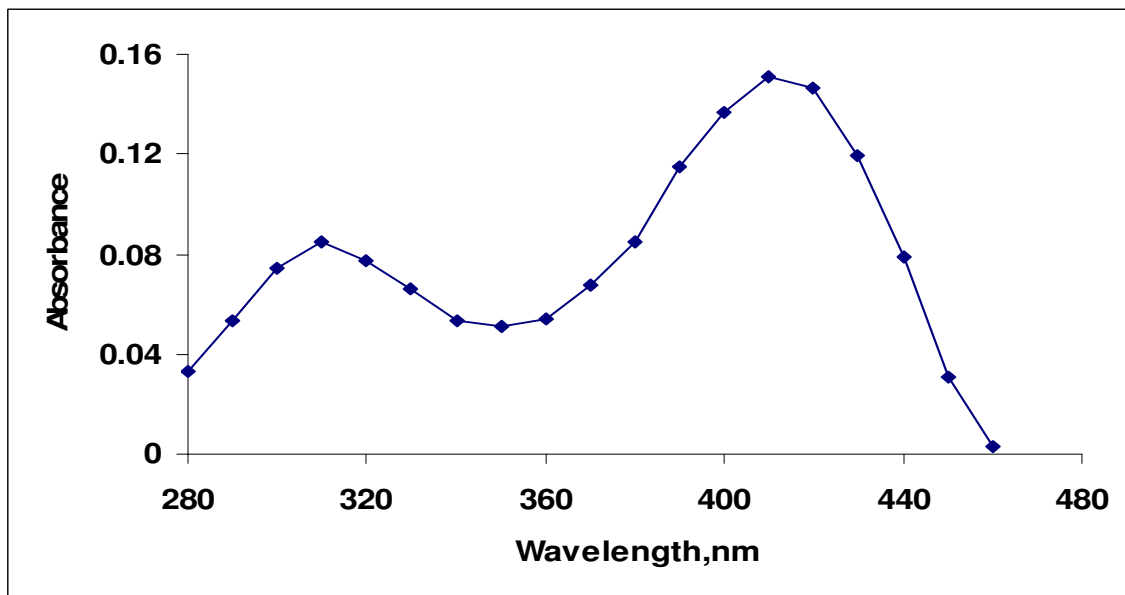
نمونه ها روی ژل ۱۰٪ آکریل آمید حاوی SDS الکتروفورز گردیدند و بندها به کمک نیترات نقره رنگ آمیزی شدند. ۱- هموژنیزه ( $140 \mu\text{g}$ ) ، ۲- فراکسیون غشایی ( $40 \mu\text{g}$ ) ، ۳- آنزیم تخلیص شده ( $10 \mu\text{g}$ ) ، ۴- مارکرها از بالا به پائین بترتیب شامل آلبومین ( $66 \text{kDa}$ ) ، اوآلبومن ( $45 \text{kDa}$ ) ، گلیسرآلدئید ۳ فسفات دهیدروژناز ( $36 \text{kDa}$ ) ، کربنیک ایدراز ( $29 \text{kDa}$ ) ، تریپسینوژن ( $24 \text{kDa}$ ) ، لاکتالبومین ( $10 \text{kDa}$ ) و آپروتینین ( $65 \text{kDa}$ ) (هر کدام  $5 \mu\text{g}$ ).

تشخیص لیزین اساسی در فعالیت کاتالیتکی آنزیم فسفاتیدات ....



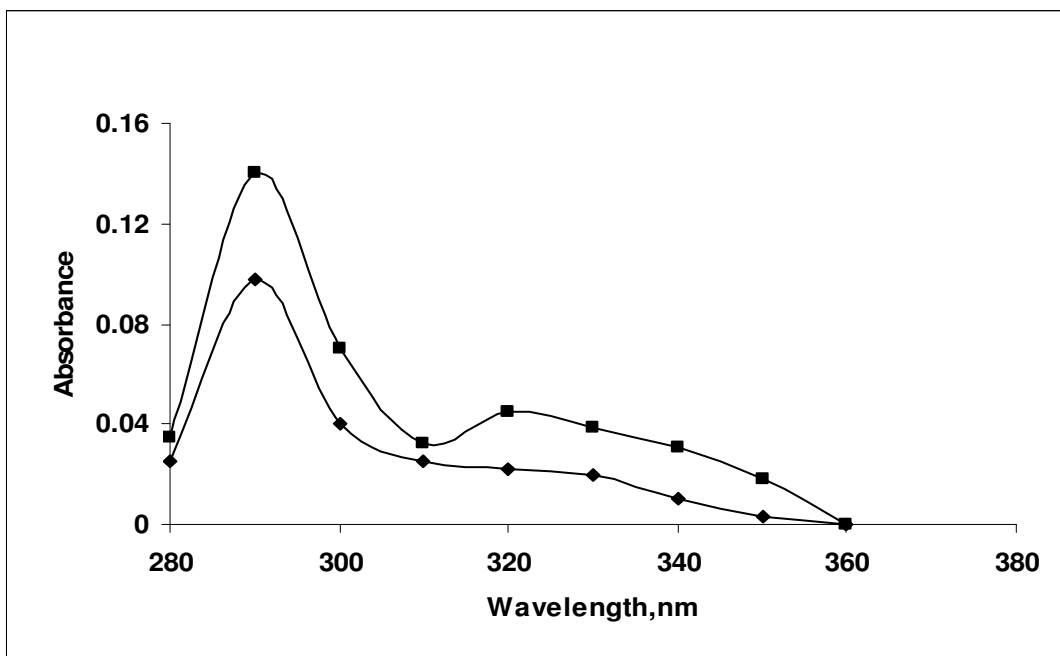
شکل شماره ۲: سرعت غیرفعال شدن  $PAP_{2b}$  در غلظت های مختلف  $PLP$

غلظت های مختلف از  $PLP$  در محیط سنجش فعالیت آنزیم محتوی  $5\mu g / ml$  آنزیم ایجاد گردید، سپس در زمان های مشخص شده سوبسترا به هر سری از لوله ها اضافه و فعالیت آنزیمی آنها اندازه گیری گردید. فعالیت آنزیم در غیاب ( $\blacklozenge$ )، در حضور  $1/10$  ( $\blacksquare$ )،  $1/20$  ( $\blacktriangle$ )،  $1/40$  ( $\times$ )،  $1/60$  ( $+$ ) و  $1/80$  ( $*$ ) میلی مولار از  $PLP$ . هر نقطه میانگین دو آزمایش مستقل است.



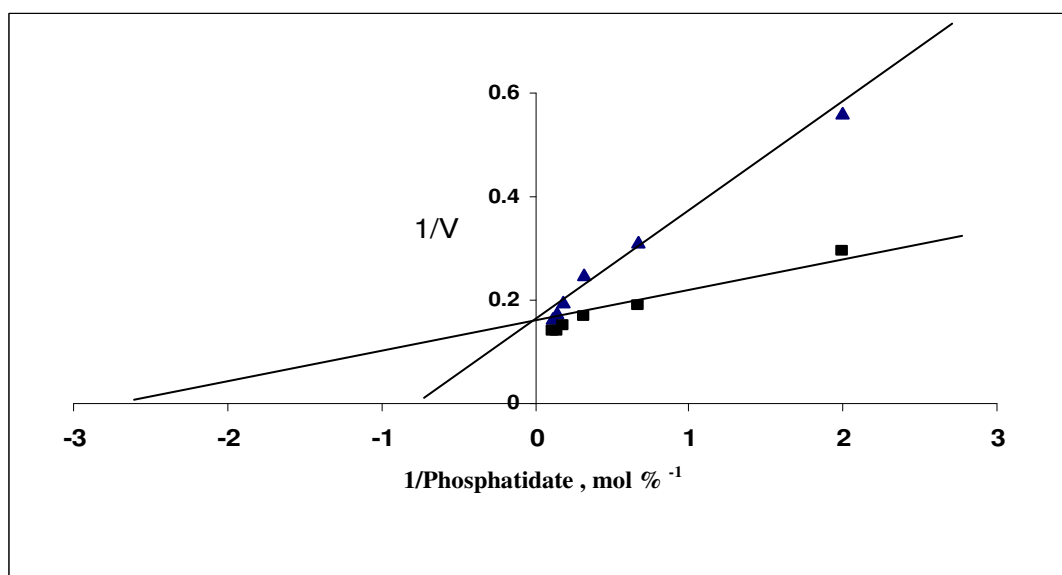
شکل شماره ۳: اسپکتروم تفاضل بین شاهد و آنزیم تغییر یافته با  $PLP$

غلظت آنزیم و  $PLP$  در تست به ترتیب  $80 \mu g/ml$  و  $80 \mu g/ml$  در بافر مذکور. لوله ها به مدت ۳ دقیقه در دمای اتان و تاریکی انکوبه گردیدند، سپس جذب تست در مقابل بلانکی که حاوی بافر مذکور بعلاوه  $0.1 \mu g/ml$   $PLP$  بود و جذب کنترل در مقابل بلانک فاقد  $PLP$  قرائت شد.



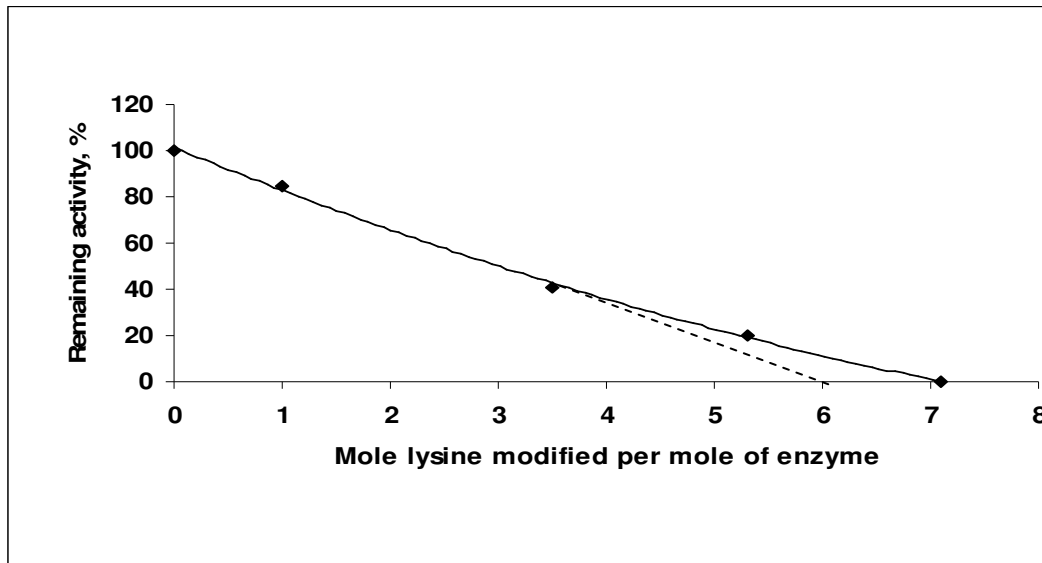
شکل شماره ۴: اسپکتروم شاهد و کمپلکس آنزیم -  $PLP$  احیاء شده با  $NaBH_4$

غلظت آنزیم در شاهد  $80 \mu\text{g}/\text{ml}$  در بافر A و غلظت آنزیم در تست  $80 \mu\text{g}/\text{ml}$  به همراه  $60 \text{ میلی مولار}$  از  $PLP$  در بافر مذکور بود. لوله‌ها به مدت  $30$  دقیقه انکوباسیون و متعاقب آن  $pH$  هر دو لوله با اسید استیک به  $6$  رسانیده شد و با  $NaBH_4$  احیاء و یک شب بطور جداگانه در یک لیتر از بافر مذکور دیالیز گردیدند. اسپکتروم شاهد (●) و آنزیم تغییر یافته (■) در مقابل بلانکی که حاوی بافر مذکور بود.



شکل شماره ۵: نمودار Lineweaver - Burk مربوط به اثر  $PLP$

فعالیت آنزیم  $PAP_{2b} (0.5 \text{ g}\mu)$  در حضور  $4/0.5 \text{ میلی مولار}$   $PLP$  (▲) و غیاب آن (■) در غلظت‌های سطحی  $0/5$  ،  $1/5$  ،  $2/1$  ،  $5/5$  و  $8/5$  مول در صد فسفاتیدات در میسل‌های مخلوط تریتون ۱۰۰-X / فسفاتیدات اندازه گیری گردید. غلظت فسفاتیدات  $0/3 \text{ میلی مولار}$  ثابت و غلظت تریتون ۱۰۰-X متغیر بود. هر نقطه میانگین دو آزمایش مستقل است.



شکل شماره ۶: تعداد مول PLP متصل شده به مول آنزیم  $PAP_{2b}$

آنزیم  $PAP_{2b}$  ( $\mu\text{g/ml}$ ) در بافر A (برای ۳۰ دقیقه در حضور غلظتهاي  $0.04\text{M}, 0.06\text{M}$ ) از  $PLP$  در بافر A انکوبه شد. سپس  $pH$  لوله ها با اسیداستيك به ۶ رسانيده شد و با  $\text{NaBH}_4$  احياء و يك شب بطور جداگانه در مقابل بافر مذكور دialiizer گردیدند. سپس فعالیت نمونه هاي آنزیمي و تعداد مول PLP متصل شده به آنزیم محاسبه شد.

### عامل کربونیل $PLP$ به $PAP_{2b}$ منجر به اتصال کووالانت

عامل کربونیل  $PLP$  به  $PAP_{2b}$  و متعاقب آن تغییر مکان ماکریزیم جذب نوری از  $420$  به  $325$  نانومتر می‌گردد. چنین وضعیت مشابهی نیز برای بعضی از آنزیمها مشاهده شده است (۱۹، ۲۰). شکل شماره ۵ نوع مهار ایجاد شده توسط  $PLP$  برای آنزیم  $PAP_{2b}$  را نشان می‌دهد که از نوع رقابتی می‌باشد و باعث افزایش  $k_m$  ظاهري آنزیم شده است، بنابراین با توجه به نوع مهار رقابتی می‌توان گفت که لیزین در جایگاه فعال و یا در نزدیکی آن قرار گرفته است، بطوریکه بلوکه شدن آن توسط  $PLP$  باعث جلوگیری از فعالیت آنزیم می‌شود. مطالعات انجام گرفته در رابطه با نقش لیزین اساسی در فعالیت  $PAP_1$  نشان داد که هرچند اسید آمینه لیزین در جایگاه فعال،  $PAP_1$  قرار ندارد ولی برای فعالیت کاتالیتکی آنزیم  $PAP_1$  اساسی است، بطوریکه تعديل آن با  $PLP$  منجر به کاهش چشمگیر فعالیت آنزیم  $PAP_1$  می‌گردد (۲۱). در تحقیق دیگری نقش هیستیدین اساسی در عمل کاتالیتکی  $PAP_1$  اثبات گردید و مشخص شد هیستیدین اساسی در جایگاه فعال این

### بحث و نتیجه‌گیری

برخی از عوامل شیمیایی قادرند با باقیمانده اسیدهای آمینه روی یک زنجیر پروتئینی ترکیب شوند و چنانچه این اسید آمینه در جایگاه فعال یک آنزیم باشد، منجر به غیرفعال شدن آنزیم می‌گردد.  $PLP$  به عنوان یکی از ترکیباتی است که قادر است با  $\epsilon$ -Aminogroup لیزین موجود در یک پروتئین ترکیب و ایجاد بازشیف کند و اگر این لیزین در جایگاه فعال یک آنزیم باشد منجر به غیرفعال شدن آن می‌گردد (۹). با توجه به اینکه  $PLP$  دارای یک ماکریزیم جذب اسپکتروفوتومتری در طول موج حدود  $388$  نانومتر می‌باشد (۱۸)، در شکل شماره ۳ اسپکتروم تفاضل بین کمپلکس آنزیم-  $PLP$  و آنزیم شاهد مشاهده می‌شود که مؤید اتصال  $PLP$  به  $PAP_{2b}$  و ایجاد بازشیف احياء نشده در  $420$  نانومتر می‌باشد. در شکل شماره ۴ مشاهده می‌شود که احياء بازشیف ایجاد شده در

توجه به نتایج حاصل که حاکی از وجود اهمیت نقش لیزین اساسی در عمل کاتالیتیکی  $PAP_{2b}$  است، برای ارائه یک مکانیسم پیشنهادی جهت واکنش آنزیم نیاز به تحقیق و پژوهش در رابطه با وجود اسید آمینه هیستیدین در فعالیت کاتالیتیکی آنزیم  $PAP_{2b}$  می‌باشد، چون که اهمیت هیستیدین اساسی در فعالیت کاتالیتیکی  $PAP_1$  اثبات شده است.(۲۲).

آنژیم وجود دارد(۲۲). در شکل شماره ۶ رابطه بین تعداد مول لیزین تغییر یافته و میزان غیرفعال شدن آنزیم مشاهده می‌شود که برای غیرفعال شدن یک مول آنزیم نیاز به ۶ مول PLP است. با توجه به محاسبه جرم مولکولی زیر واحد اندھای آنزیم که  $33/8$  کیلوالتون گردید و جرم مولکولی آنزیم که  $175$  کیلوالتون گزارش شده است (۷)، احتمالاً آنزیم می‌باشد ساختمان هگزامر داشته باشد و بنابراین احتمالاً در هر زیر واحد آنزیم یک لیزین اساسی تعديل شده است. با

## REFERENCES

- Smith SW, Weiss SB, Kennedy EP; Enzymatic dephosphorylation of phosphatidic acid; *J Biol Chem*, 1957, 228: 915-22.
- Brindley D.N; Intracellular translocation of phosphatidate phosphohydralase and its possible role in the control of glycerolipid synthesis; *Prog Lipid Res*, 1984, 23: 115-33.
- Jamal Z , Martin A , Munoz AG and Brindley DN; Plasma membrane fractions from rat liver contain a phosphatidate phosphohydrolase distinct from that in the endoplasmic reticulum and cytosol; *J Biol Chem*, 1991, 266: 2988-96.
- Martin A , Comez-Munoz A , Jamal Zand Brindley DN; Characrization and assay of PAP; *Methods Enzymol* ,1991,197:553- 63 .
- Day CP , Burt A D , Brown AM and et al.; Plasma membrane form of phosphatidate phosphohydrolase: a possible role in signal transduction during liver fibrogenesis; *Clin Science* ,1993, 85:281-7.
- Waggoner DW , Martin A, Dewald J and et al. ; Purification and characterization of a novel plasma membrane phosphatidate phosphohydrolase from rat liver ; *J Biol Chem* , 1995,270: 19422-9 .
- Fleming IN and Yeaman SJ ; Purification and characterization of N-ethylmaleimide-insensitve phosphatidic acid phosphohydrolase ( $PAP_2$ ) from rat liver; *Biochem J* , 1995,308: 983-9.
- Anai M , Lai CY.and Horecker BL; The pyridoxal phosphate binding site of rabbit muscle aldolase; *Arch Biochem Biophys* , 1973, 156: 712-9.
- Colombo G and Marcus F; Modification of fructose 1,6 diphosphatase with pyridoxal 5 phosphate. Evidence for the participation of lysyl residue at the active site ; *Biochemistry*, 1974, 13 (15): 3085-91.
- Kanoh H , Imai SI , Yamada K ,Sakane.F; Purification and properties of phosphatidic acid phosphatase from porcine thymus membrane; *J Biol Chem* , 1992, 267: 25309-14 .

- 11) Haghghi B, Honarju S ; The effects of hydrazine on the phosphatidate phosphohydrolase activity in rat liver; Biochem Pharmaco ,1987,36 :1163-5.
- 12) Haghghi B , Flynn G and Levy R; Glucose 6 phosphate dehydrogenase from Leuconostoc mesenteroides . Isolation and sequence of a peptide containing an essential lysine; Biochemistry, 1982, 24: 6415-20.
- 13) Carman GM , Deems RA .and Dennis EA ; Lipid signaling enzymes and surface dilution kinetics;J BiolChem , 1995, 270: 18711-4.
- 14) Bradford MMA; Rapid and sensitive method for the quantitation of microgram quantities of protein utilizing the principle of protein dye binding; Anal Biochem, 1976,72:248-54.
- 15)Weber K, Pringle JR,Osborn M; Measurment of molecular weight by electrophoresis on SDS acrylamide gel ;Methods Enzymol ,1972 ,26 :3 27 .
- 16) Feuerstein N and Cooper HL; Rapid protein phosphorylation induced by phorbol ester in HL-60 cells; J Biol Chem , 1983, 258: 10786-93.
- 17)Heukeshoven J , Dernick R; Simplified method for silver staining of proteins in polyacrylamide gels and the mechanism of the silver staining ; Electrophoresis ,1985 , 6 (3) :103- 12.
- 18)Milhousen M and Levy R;Evidence for an essential lysine in glucose-6-phosphate dehydrogenase Leuconostoc mesentroide;J Biochem ,1975,50: 453-61.
- 19) Raetz CRH and Auld DS ; Schiff bases of pyridoxal phosphate with active center lysine of ribonuclease A; Biochemistry ,1972, 11 (12):2229-2236.
- 20) Greenwell P ,Jewett SL and Stark GR; Aspartate transcarbamylase from Escherichea coli; J Biol Chem , 1973, 248: 5994-01.
- 21) Haghghi Band Heidarian E; Evidence for an essential lysine residue on cytosolic phosphatidate phosphohydrolase from rat liver; Iranian J Sci Technol ,2001, 25: 175-82.
- 22) Haghghi B and Takhshid A;The evidence for essential histidine residue in soluble phosphatidate phosphohydrolase of rat liver; Iranian J Sci Thech , 1999, 23: 109-116.